

Аннотация

В работе рассматривается задача гарантированного вычисления всех стационарных состояний модели ВИЧ-инфекции Бочарова-Перцева при фиксированных значениях параметров и анализа их устойчивости. Предложена эффективная технология вычисления всех неотрицательных решений и исследования их устойчивости. Полученные результаты дают вычислительную основу для исследования хронических состояний ВИЧ-инфекции с помощью модели Бочарова-Перцева, а также технологию решения аналогичных задач для моделей, представляющих собой системы интегродифференциальных уравнений с запаздыванием.

Содержание

1	Введение	3
2	Математическая модель противовирусного иммунного ответа	5
3	Задача Коши	10
3.1	Описание алгоритма решения задачи Коши	10
3.2	Численные результаты	11
4	Вычисление стационарных состояний	17
5	Анализ устойчивости	19
6	Заключение	29

1 Введение

Данная работа посвящена методам гарантированного вычисления всех стационарных состояний модели ВИЧ-инфекции Бочарова-Перцева при фиксированных значениях параметров и анализу их устойчивости. Почему это важно изучить?

Во-первых, в России живет более 1 млн людей с ВИЧ, только в прошлом году умерли от СПИДа 37 000 человек, в среднем это – 100 человек в день. Это значит, что важно изучать модели ВИЧ-инфекции для исследования закономерности динамики ВИЧ-инфекции, а также для усовершенствования антиретровирусной терапии.

Во-вторых, напомним, что стационарные состояния модели соответствуют хроническим формам заболевания. Зная все стационарные состояния и их устойчивость, можно подобрать такое возмущение, которое переведет организм из хронического состояния с высокой вирусной нагрузкой в состояние с низкой вирусной нагрузкой. Тем самым, способствуя выздоровлению. А значит нам нужно уметь вычислять стационарные состояния и исследовать их устойчивость.

В-третьих, большинство моделей вирусных инфекций представляют собой систему дифференциальных уравнений с запаздыванием. Для них разработаны методы решения поставленной нами проблемы. В отличие от них, модель Бочарова-Перцева является системой интегро-дифференциальных уравнений с запаздыванием и для нее известные методы решения нужно модифицировать. То есть, на примере данной модели мы модифицируем технологию вычисления стационарных состояний и исследования их устойчивости и сможем в будущем применять ее для схожих моделей с интегралом.

Работа имеет следующую структуру. В разделе 3 описана рассматриваемая математическая модель ВИЧ-инфекции Бочарова-Перцева. В разделе 4 описан метод решения задачи Коши для модели. Он состоит из двух подразделов. В подразделе 4.1 предлагается численный алгоритм, решающий задачу Коши. В подразделе 4.2 результаты работы предложенного алгоритма сравниваются с работой методов, реализованных ранее для данной модели. В разделе 5 описаны и обоснованы предлагаемые методы вычисления всех стационарных состояний. Раздел 6 посвящен алгоритмам анали-

за устойчивости найденных стационарных состояний. Работа алгоритмов, предложенных в разделах 5 и 6, демонстрируется на примере 3 различных наборов параметров для описания ВИЧ-инфекции. В разделе 7 подводятся итоги данной работы и обсуждаются вопросы дальнейшего применения полученных результатов.

2 Математическая модель противовирусного иммунного ответа

Математическая модель ВИЧ-инфекции Бочарова-Перцева сформулирована в [1] в виде системы нелинейных интегро-дифференциальных уравнений с запаздывающим аргументом. Система описывает скорость изменения во времени концентрации следующих популяций:

- неинфицированных клеток-мишеней $A(t)$ — дендритные клетки, макрофаги, CD4+ Т-лимфоциты;
- латентно инфицированных клеток $L(t)$ — клетки, незаметно инфицированные для иммунной системы;
- инфицированных клеток, производящих вирусные частицы $I(t)$;
- зрелых вирусных частиц $V(t)$ — вирусные частицы, готовые заражать;
- наивных неактивированных CD8+ Т-лимфоцитов $E_0(t)$;
- клеток памяти CD8+ Т-лимфоцитов $Q(t)$;
- эффекторных цитотоксичных CD8+ Т-лимфоцитов $E(t)$.

Опишем популяции клеток, играющие важную роль в процессе иммунного ответа, но концентрации которых не будут использоваться в расчетах:

- продуктивно-инфицированные клетки до выхода из них новых вирусных частиц $C(t)$ — заметны для иммунной системы, но не производят новые вирусные частицы;
- незрелые вирусные частицы $U(t)$ — только что вышедшие из инфицированной клетки новые вирусные частицы, не готовые заражать;
- активированные пролиферирующие CD8+ Т-лимфоциты $E_1(t)$;
- активированные клетки памяти CD8+ Т-лимфоцитов $E_2(t)$.

Будем предполагать далее, что все переменные имеют размерность клеток/мл или частиц/мл.

Введем следующие вспомогательные переменные:

скорость появления клеток C

$$\rho_C(t) = (1 - p_L)\gamma_{A,V}A(t)V(t) + \gamma_{A,I}A(t)I(t) + \gamma_{L,I}L(t)I(t) + \alpha_L L(t),$$

скорость секреции клеток U

$$\rho_U(t) = \nu_I I(t),$$

скорость активации клеток E_1

$$\rho_{E_1}(t) = \gamma_{E_0,A,V}E_0(t)A(t)V(t),$$

скорость активации клеток E_2

$$\rho_{E_2}(t) = \gamma_{Q,A,V}Q(t)A(t)V(t).$$

Система состоит из двух блоков: блока, описывающего процесс формирования инфицированных и латентно инфицированных клеток

$$\frac{d}{dt}A(t) = r_A - \mu_A A(t) - \gamma_{A,V}A(t)V(t) - \gamma_{A,I}A(t)I(t), \quad (1)$$

$$\frac{d}{dt}L(t) = -(\mu_L + \alpha_L)L(t) - \gamma_{L,I}L(t)I(t) + p_L \gamma_{A,V}A(t)V(t), \quad (2)$$

$$\frac{d}{dt}I(t) = -(\mu_I + \sigma_I \nu_I)I(t) - \gamma_{E,I}E(t)I(t) + e^{-\mu_C \omega_C} \rho_C(t - \omega_C), \quad (3)$$

$$\begin{aligned} \frac{d}{dt}V(t) = & -\mu_V V(t) - \gamma_{A,V}A(t)V(t) - \gamma_{L,V}L(t)V(t) - \\ & -\gamma_{C,V} \int_{t-\omega_C}^t e^{-\mu_C(t-s)} \rho_C(s) ds V(t) + e^{-\mu_U \omega_U} \rho_U(t - \omega_U), \end{aligned} \quad (4)$$

и блока, описывающего иммунный ответ

$$\frac{d}{dt}E_0(t) = r_{E_0} - \mu_{E_0}E_0(t) - \rho_{E_1}(t), \quad (5)$$

$$\frac{d}{dt}Q(t) = -\mu_Q Q(t) - \rho_{E_2}(t) + n_{Q_1}\rho_{E_1}(t - \omega_{E_1}) + n_{Q_2}\rho_{E_2}(t - \omega_{E_2}), \quad (6)$$

$$\begin{aligned} \frac{d}{dt}E(t) = & -\mu_E E(t) - p_E \gamma_{E,I} E(t)I(t) + n_{E_1}\rho_{E_1}(t - \omega_{E_1}) + \\ & + n_{E_2}\rho_{E_2}(t - \omega_{E_2}). \end{aligned} \quad (7)$$

Биологический смысл параметров системы пояснен в Табл. 1. Для биологической адекватности модели (1)–(7) значения всех этих параметров должны быть неотрицательными. Более того, интерес представляет только случай, когда все параметры положительные и выполнены следующие неравенства:

$$0 < \sigma_I < 1, \quad 0 \leq p_E \leq 1. \quad (8)$$

Далее мы будем предполагать, что неравенство (8) выполнено.

Иллюстрировать работу предложенных алгоритмов мы будем при значениях параметров, приведенных в Табл. 2 и соответствующих начальной стадии ВИЧ.

Отметим, что задача Коши для системы (1)–(7) с неотрицательными непрерывными начальными значениями и неотрицательными параметрами глобально разрешима на любом конечном временном интервале [2]. Для определения решения при $t > 0$ достаточно задать значения

$$\begin{aligned} A(t) &= A^0(t), \quad L(t) = L^0(t), \quad I(t) = I^0(t), \quad V(t) = V^0(t), \\ E_0(t) &= E_0^0(t), \quad Q(t) = Q^0(t), \quad E(t) = E^0(t), \quad -\omega_{max} \leq t \leq 0, \end{aligned} \quad (9)$$

где $\omega_{max} = \max\{\omega_C, \omega_U, \omega_{E_1}, \omega_{E_2}\}$. Все функции в (9) неотрицательные и непрерывные.

Обозначив вектор переменных системы (1)–(7) через

$$U = (A, L, I, V, E_0, Q, E)^T, \quad (10)$$

Таблица 1: Параметры модели.

Параметр	Биологический смысл параметра, размерность
r_A	Константа скорости продуцирования клеток-мишеней, сут^{-1}
r_{E_0}	Константа скорости продуцирования клеток-предшественников CD8+ Т-лимфоцитов (ЦТЛ), сут^{-1}
μ_A	Константа скорости естественной гибели клеток-мишеней, сут^{-1}
μ_L	Константа скорости естественной гибели латентно-инфицированных клеток, сут^{-1}
μ_I	Константа скорости естественной гибели инфицированных клеток, производящих новые вирусные частицы, сут^{-1}
μ_C	Константа скорости естественной гибели инфицированных клеток, пока не производящих новые вирусные частицы, сут^{-1}
μ_{E_0}	Константа скорости естественной гибели клеток-предшественников CD8+ Т-лимфоцитов, сут^{-1}
μ_Q	Константа скорости естественной гибели клеток памяти CD8+ Т-лимфоцитов, сут^{-1}
μ_E	Константа скорости естественной гибели эффекторных цитотоксичных CD8+ Т-лимфоцитов, сут^{-1}
μ_U	Константа скорости естественной гибели незрелых вирусных частиц, сут^{-1}
μ_V	Константа скорости естественной гибели зрелых вирусных частиц, сут^{-1}
σ_I	Доля инфицированных клеток, производящих вирусные частицы, умирающих из-за вируса
ν_I	Скорость продуцирования вирусных частиц инфицированными клетками, сут^{-1}
p_L	Доля клеток-мишеней, становящиеся латентно-инфицированными после контакта с вирусом
α_L	Константа скорости перехода клетки из латентно-инф. состояния в продуктивно-инф.
n_{Q_1}	Число клеток памяти, потомков активированной CD8+ Т-клетки
n_{Q_2}	Число клеток памяти, потомков активированной клетки памяти
n_{E_1}	Число ЦТЛ, потомков активированной CD8+ Т-клетки
n_{E_2}	Число ЦТЛ, потомков активированной CD8+ Т-клетки памяти
p_E	Доля ЦТЛ, умирающих от взаимодействия с инфицированной клеткой
$\gamma_{L,V}$	Константа скорости расхода вируса на взаимодействия с латентно-инфицированной клетки, сут^{-1}
$\gamma_{C,V}$	Константа скорости расхода вируса на взаимодействия с продуктивно-инф. клетки, сут^{-1}
$\gamma_{A,V}$	Константа скорости заражения клетки-мишени из-за взаимодействия с вирусной частицей, сут^{-1}
$\gamma_{L,I}$	Константа скорости перехода из латентно-инф. состояния в продуктивно-инф. из-за взаимодействия с инфицированной клеткой, сут^{-1}
$\gamma_{A,I}$	Константа скорости заражения клетки-мишени из-за взаимодействия с инфицированной клеткой, сут^{-1}
$\gamma_{E,I}$	Константа скорости разрушения инфицированных клеток цитотоксичными Т-клетками, сут^{-1}
$\gamma_{E_0,A,V}$	Константа скорости активации ВИЧ-специфичных CD8+ Т-клеток, сут^{-1}
$\gamma_{Q,A,V}$	Константа скорости активации клеток памяти, сут^{-1}
ω_C	Время, через которое продуктивно-инф. клетка начинает производить вирусные частицы, сут
ω_U	Длительность созревания вирусной частицы, сут
ω_{E_1}	Продолжительность цикла деления и дифференцировки активированной ЦТЛ, сут
ω_{E_2}	Продолжительность цикла деления и дифференцировки активированной клетки памяти, сут

будем записывать эту систему в следующем компактном виде:

$$\frac{dU}{dt}(t) = F(U(t), U(t - \omega_C), U(t - \omega_U), U(t - \omega_{E_1}), U(t - \omega_{E_2}), \{U(s) : t - \omega_C \leq s \leq t\}), \quad (11)$$

Таблица 2: Значения параметров модели (1)—(3) для трех тестов.

Параметр	Набор 1	Набор 2	Набор 3
r_A	5000	2000	2000
r_{E_0}	12	120	120
μ_A	0.01	0.01	0.01
μ_L	0.01	0.01	0.01
μ_I	0.01	0.01	0.01
μ_C	0.01	0.01	0.01
μ_{E_0}	0.01	0.01	0.01
μ_Q	0.01	0.01	0.05
μ_E	0.08	0.08	0.08
μ_U	3	3	3
μ_V	3	3	3
ν_I	110	110	110
σ_I	0.0032	0.0032	0.0032
p_L	0.3	0.3	0.3
α_L	0.05	0.1	0.02
n_{Q_1}	12	12	12
n_{Q_2}	10	10	10
n_{E_1}	16	16	16
n_{E_2}	12	12	12
p_E	0.12	0.12	0.12
$\gamma_{L,V}$	$0.1 \cdot 10^{-7}$	$0.35 \cdot 10^{-7}$	$2 \cdot 10^{-6}$
$\gamma_{C,V}$	$0.1 \cdot 10^{-7}$	$0.35 \cdot 10^{-7}$	$1.5 \cdot 10^{-6}$
$\gamma_{A,V}$	$0.1 \cdot 10^{-7}$	$0.35 \cdot 10^{-7}$	$0.12 \cdot 10^{-6}$
$\gamma_{L,I}$	$0.2 \cdot 10^{-6}$	$5 \cdot 10^{-7}$	10^{-6}
$\gamma_{A,I}$	$0.2 \cdot 10^{-6}$	$5 \cdot 10^{-7}$	$0.15 \cdot 10^{-6}$
$\gamma_{E,I}$	$1.5 \cdot 10^{-6}$	$3.5 \cdot 10^{-5}$	$3.5 \cdot 10^{-5}$
$\gamma_{E_0,A,V}$	$7 \cdot 10^{-14}$	$7 \cdot 10^{-10}$	$7 \cdot 10^{-10}$
$\gamma_{Q,A,V}$	$4 \cdot 10^{-14}$	$4 \cdot 10^{-10}$	$4 \cdot 10^{-10}$
ω_C	0.2	0.2	0.1
ω_U	0.02	0.02	0.02
ω_{E_1}	2.5	1.5	1.5
ω_{E_2}	2.3	1.2	1.2

где $\omega_C, \omega_U, \omega_{E_1}, \omega_{E_2}$ означают соответствующие задержки.

3 Задача Коши

3.1 Описание алгоритма решения задачи Коши

Для численного решения задачи Коши для системы (1)–(7) в данной работе применим неявную схему второго порядка BDF2 [3] на равномерной сетке

$$\{t_k = \delta k : k = -m_{max} + 1, -m_{max} + 2, \dots\},$$

построенной с шагом $\delta > 0$ в полуинтервале $[-\omega_{max}, \infty)$. Величины $m_\alpha = [\omega_\alpha/\delta]$, $\alpha \in \{C, U, E_1, E_2\}$, где $[.]$ означает целую часть числа, являются дискретными аналогами задержек, $m_{max} = \max\{m_C, m_U, m_{E_1}, m_{E_2}\}$. Пусть U_k — сеточная функция, аппроксимирующая $U(t_k)$. Заменим интеграл в уравнении (4) на сумму по формуле трапеции

$$\begin{aligned} \int_{t-\omega_C}^t e^{-\mu_C(t-s)} \rho_C(s) ds &= \\ &= \sum_{s=k-m_C+1}^k \frac{e^{-\mu_C \delta(k-(s-1))} \rho_{C_{s-1}} + e^{-\mu_C \delta(k-s)} \rho_{C_s}}{2} \delta. \end{aligned} \quad (12)$$

Полученную систему будем записывать в следующем виде:

$$\begin{aligned} \frac{1.5U_k - 2U_{k-1} + 0.5U_{k-2}}{\delta} &= \\ &= \hat{F}(U_k, U_{k-m_C}, U_{k-m_U}, \dots, U_{k-m_{E_2}}, \{U_k, U_{k-1}, \dots, U_{k-m_C}\}), \\ & \quad k = 1, 2, \dots, \end{aligned} \quad (13)$$

где \hat{F} аппроксимирует правую часть системы (11) в узлах сетки с учетом (12). В качестве начальных данных для решения задачи Коши нужно задать значения $U_{-m_{max}+1}, \dots, U_0$.

Запишем уравнение (13) в виде

$$G(U_k) = 0, \quad k = 1, 2, \dots, \quad (14)$$

где

$$G(U_k) = \frac{1.5U_k - 2U_{k-1} + 0.5U_{k-2}}{\delta} - \widehat{F}(U_k, U_{k-m_C}, U_{k-m_U}, \dots, U_{k-m_{E_2}}, \{U_k, U_{k-1}, \dots, U_{k-m_C}\}).$$

Якобиан функции $G(U_k)$ имеет вид

$$J_k = \frac{1.5I}{\delta} - D_k,$$

где

$$D_k = \frac{\partial \widehat{F}(U_k, U_{k-m_C}, U_{k-m_U}, \dots, U_{k-m_{E_2}}, \{U_k, U_{k-1}, \dots, U_{k-m_C}\})}{\partial U_k},$$

а I означает единичную матрицу седьмого порядка. Будем вычислять D_k по формуле

$$D_k(:, i) = \frac{\widehat{F}(U_k + \epsilon \cdot I(:, i), U_{k-m_C}, \dots) - \widehat{F}(U_k - \epsilon \cdot I(:, i), U_{k-m_C}, \dots)}{2\epsilon},$$

где $D_k(:, i)$ и $I(:, i)$ — i -е столбцы соответствующих матриц.

На каждом шаге решаем уравнение (14) относительно U_k методом Ньютона с начальным значением U_{k-1}

$$U_{l+1} = U_l - J_l^{-1} \cdot G(U_l)$$

до достижения точности $\|G(U_l)\|_2 \leq \epsilon_N$.

3.2 Численные результаты

Графики решения, полученные при численном интегрировании системы (1)–(7) на интервале $[1, 150]$ с параметрами, приведенными в Табл. 2, шагом сетки $\delta = 0.5 \cdot 10^{-3}$, с $\epsilon = 10^{-8}$ для вычисления D_k , с точностью

метода Ньютона $\epsilon_N = 10^{-7}$ и с начальными данными

$$\begin{aligned} A^0(t) &= A^* = \frac{r_A}{\mu_A}, \quad E_0^0(t) = E_0^* = \frac{r_{E_0}}{\mu_{E_0}}, \quad L^0(t) = 0, \\ I^0(t) &= 0, \quad Q^0(t) = 0, \quad E(0) = 0, \quad -\omega_{max} \leq t \leq 0, \\ V^0(t) &= \begin{cases} 0, & t \leq -0.01 \\ 5000(t + 0.01), & -0.01 \leq t \leq 0, \end{cases} \end{aligned} \quad (15)$$

изображены на Рис. 1, 2 и 3, а с начальными данными

$$\begin{aligned} A^0(t) &= \exp(12.2058) - 1, \quad E_0^0(t) = \exp(9.1195) - 1, \\ L^0(t) &= \exp(2) - 1, \quad I^0(t) = \exp(0.5872) - 1, \quad Q^0(t) = \exp(9.5289) - 1, \\ E(0) &= \exp(9.3488) - 1, \quad -\omega_{max} \leq t \leq 0, \\ V^0(t) &= \exp(3.3452) - 1 + \begin{cases} 0, & t \leq -0.01 \\ 15000(t + 0.01), & -0.01 \leq t \leq 0 \end{cases} \end{aligned} \quad (16)$$

изображены на Рис. 4.

Верификация результатов. Для верификации полученных результатов был использован алгоритм, предложенный Н. И. Перцевым. Сначала модель представляется в другой (эквивалентной форме) так, что интеграл переносится из системы уравнений в начальные условия и аппроксимируется суммой по формуле прямоугольника. Для нахождения переменных используется явно-неявная схема Эйлера

$$\frac{y_{i+1} - y_i}{\delta} = f(x_i, y_{i+1}),$$

с помощью которой получаются рекуррентные соотношения для всех переменных.

Решение, вычисленное с помощью этого метода и опубликованное в [1], показало хорошее совпадение с расчетами, полученными методом BDF2.

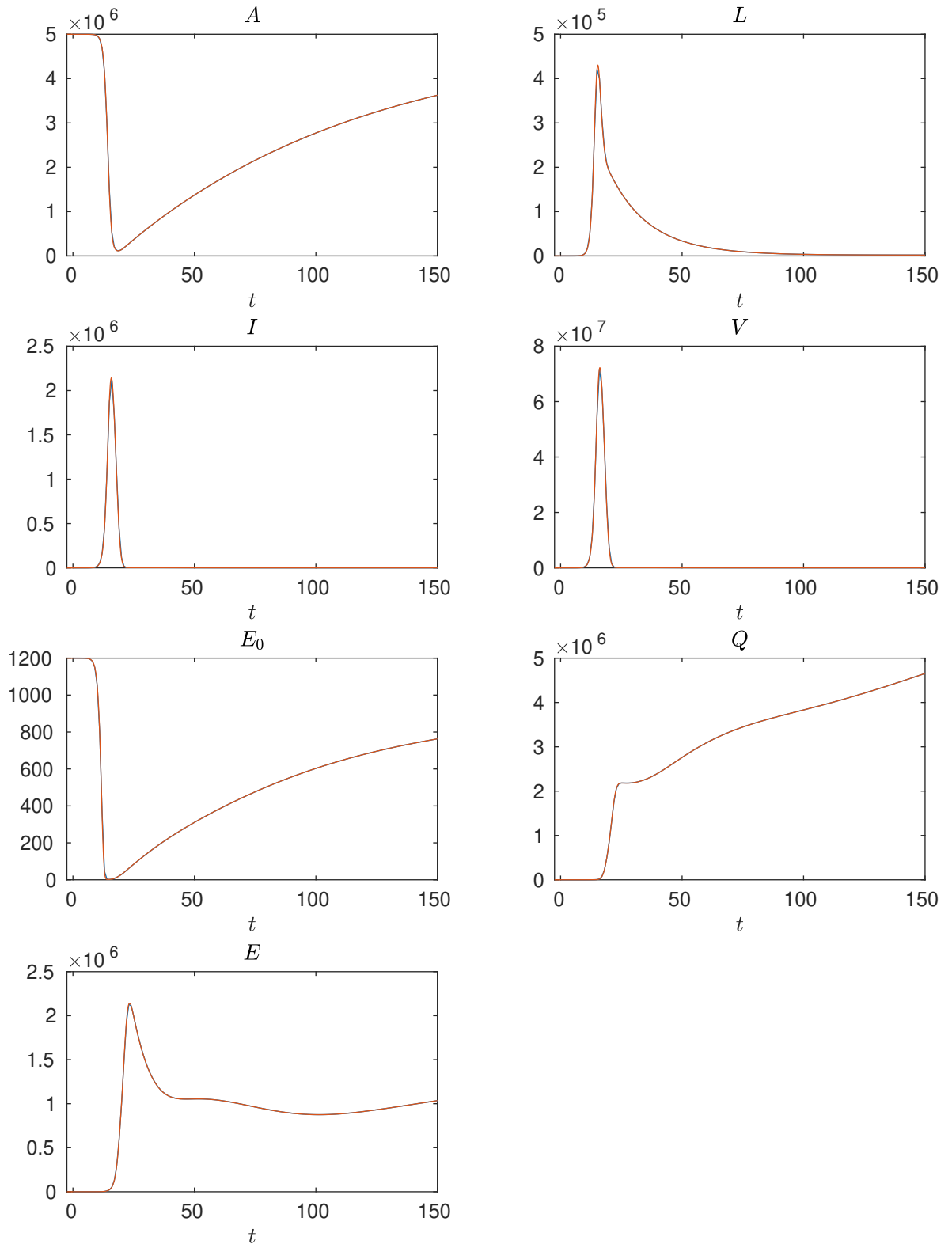


Рис. 1: Результат интегрирования с начальными данными (15), набором значений параметров 1 из Табл. 2 по явно- неявной схеме Эйлера (синим) и по схеме BDF2 с шагом сетки $\delta = 5 \cdot 10^{-4}$ (красным).

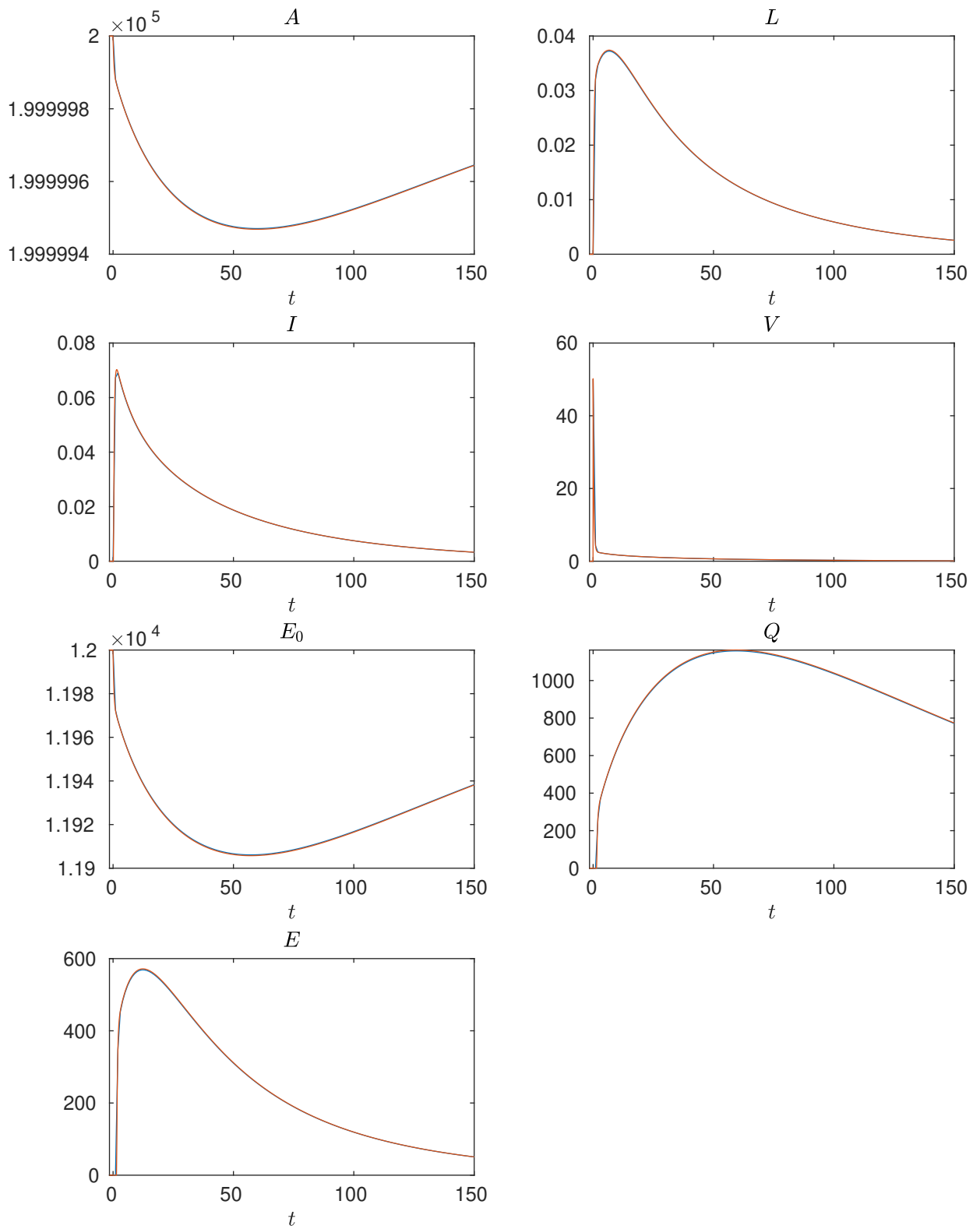


Рис. 2: Результат интегрирования с начальными данными (15), набором значений параметров 2 из Табл. 2 по явно-неявной схеме Эйлера (синим) и по схеме BDF2 с шагом сетки $\delta = 10^{-4}$ (красным).

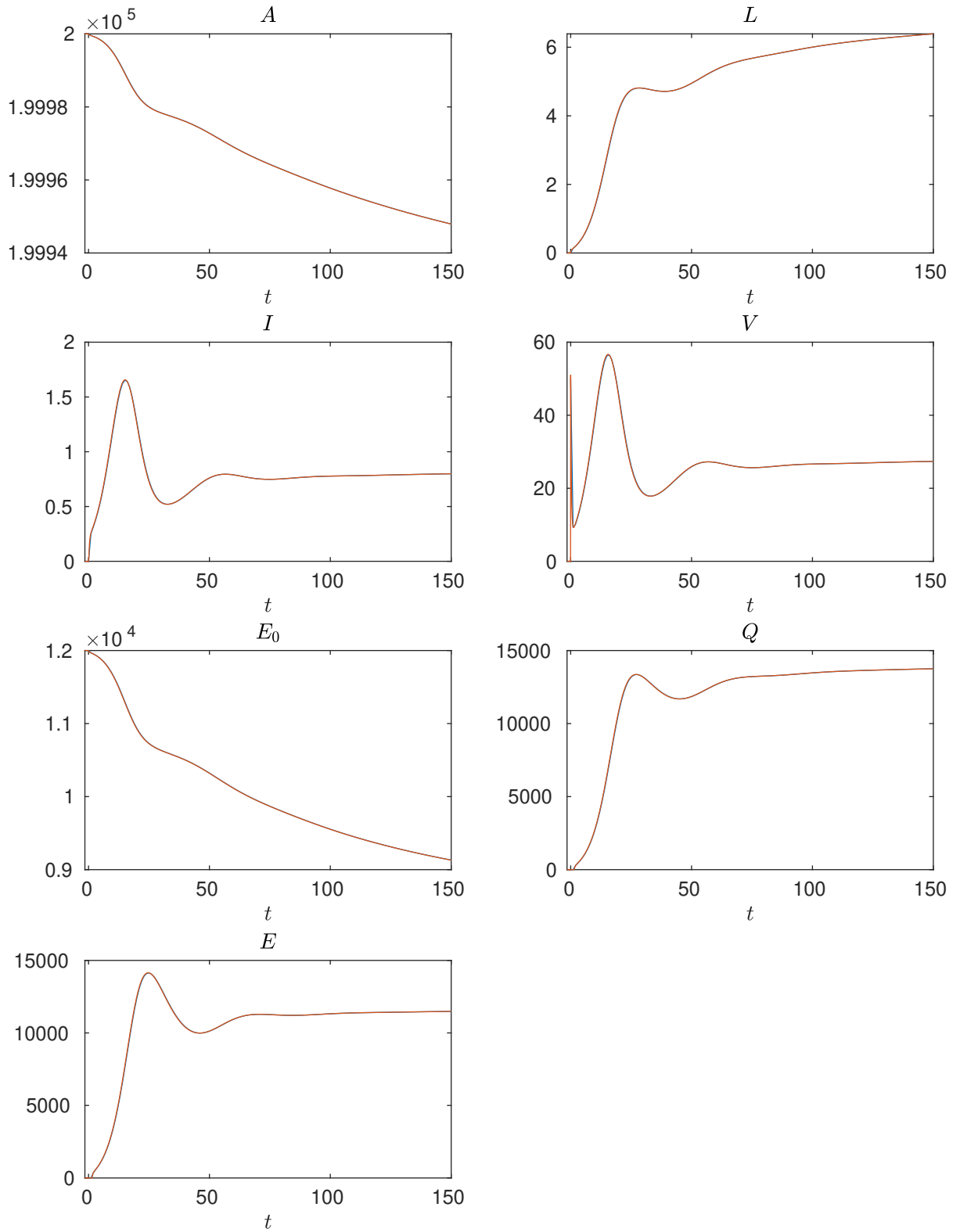


Рис. 3: Результат интегрирования с начальными данными (15), набором значений параметров 3 из Табл. 2 по явно-неявной схеме Эйлера (синим) и по схеме BDF2 с шагом сетки $\delta = 5 \cdot 10^{-4}$ (красным).

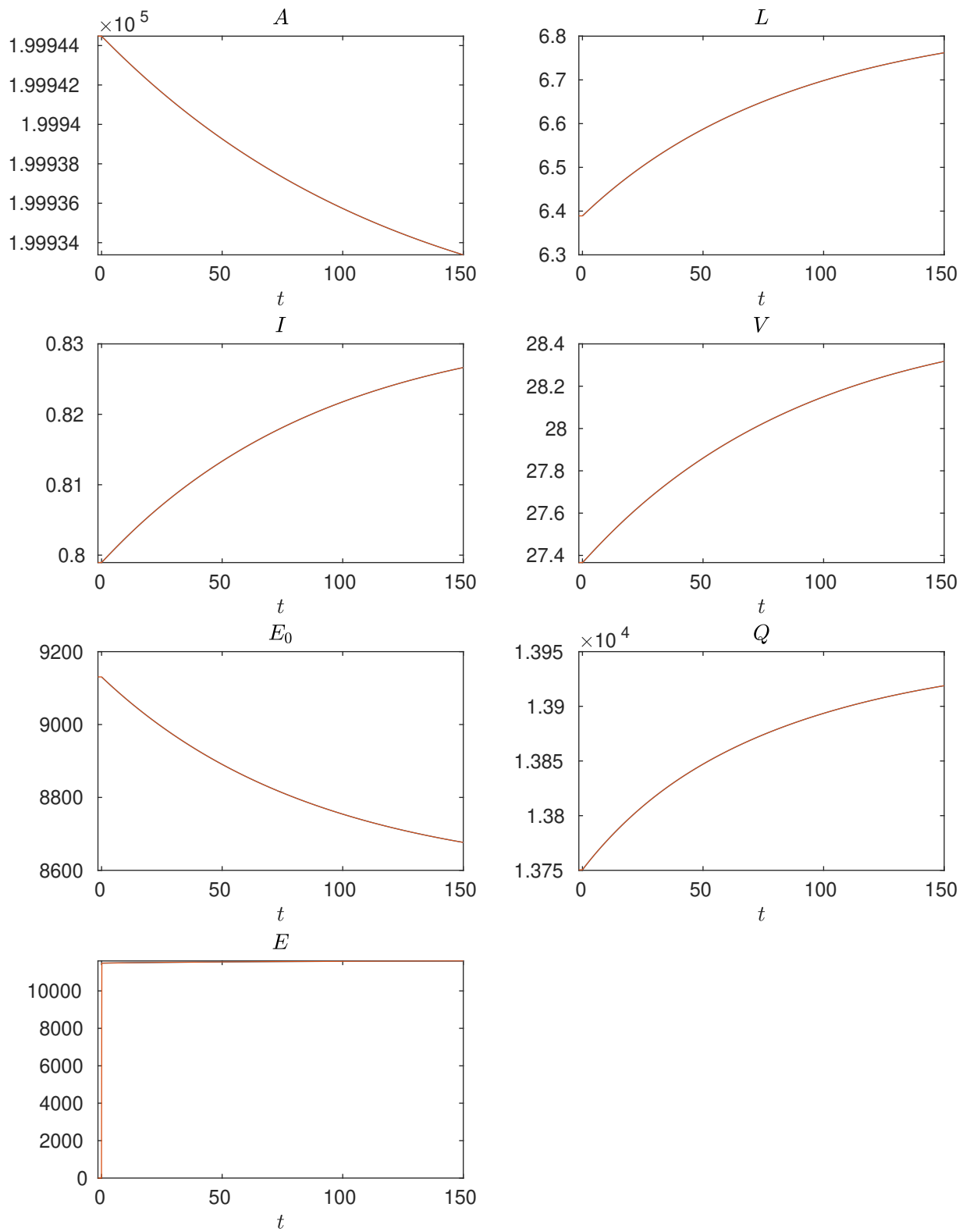


Рис. 4: Результат интегрирования с начальными данными (16), набором значений параметров 3 из Табл. 2 по явно- неявной схеме Эйлера (синим) и по схеме BDF2 с шагом сетки $\delta = 5 \cdot 10^{-4}$ (красным).

4 Вычисление стационарных состояний

Стационарные состояния системы (1) — (7) при фиксированных значениях параметров являются неотрицательными решениями следующей системы уравнений относительно A, L, I, V, E_0, Q, E :

$$r_A - \mu_A A - \gamma_{A,V} AV - \gamma_{A,I} AI = 0, \quad (17)$$

$$-(\mu_L + \alpha_L)L - \gamma_{L,I} LI + p_L \gamma_{A,V} AV = 0, \quad (18)$$

$$-(\mu_I + \sigma_I \nu_I)I - \gamma_{E,I} EI + e^{-\mu_C \omega_C} \rho_C = 0, \quad (19)$$

$$-\mu_V V - \gamma_{A,V} AV - \gamma_{L,V} LV - \gamma_{C,V} \frac{\rho_C}{\mu_C} (1 - e^{-\mu_C \omega_C}) V + e^{-\mu_U \omega_U} \rho_U = 0, \quad (20)$$

$$r_{E_0} - \mu_{E_0} E_0 - \rho_{E_1} = 0, \quad (21)$$

$$-\mu_Q Q - \rho_{E_2} + n_{Q_1} \rho_{E_1} + n_{Q_2} \rho_{E_2} = 0, \quad (22)$$

$$-\mu_E E - p_E \gamma_{E,I} EI + n_{E_1} \rho_{E_1} + n_{E_2} \rho_{E_2} = 0, \quad (23)$$

где

$$\rho_C = (1 - p_L) \gamma_{A,V} AV + \gamma_{A,I} AI + \gamma_{L,I} LI + \alpha_L L,$$

$$\rho_U = \nu_I I, \rho_{E_1} = \gamma_{E_0,A,V} E_0 AV, \rho_{E_2} = \gamma_{Q,A,V} Q AV.$$

Будем предполагать, что выполнено неравенство (8). Тогда система (17) — (23) имеет неотрицательное решение

$$\begin{aligned} V = U = I = C = L = 0, \\ A = \frac{r_A}{\mu_A}, E_0 = \frac{r_{E_0}}{\mu_{E_0}}, Q = 0, E = 0. \end{aligned} \quad (24)$$

Все остальные неотрицательные решения системы, если таковые имеются, удовлетворяют неравенствам $V > 0$, $A > 0$.

Решая систему (17)—(23) с помощью функции SOLVE в Matlab, находим стационарные состояния, представленные в Табл. 3.

Таблица 3: Значения переменных модели в стационарных состояниях, округленные до 4-х значащих цифр, при значениях параметров из Табл. 2.

Переменная	Набор 1		Набор 2	Набор 3	
	I	II	I	I	II
A	$5 \cdot 10^6$	$4.956 \cdot 10^6$	$2 \cdot 10^5$	$2 \cdot 10^5$	$1.999 \cdot 10^5$
L	0	$1.388 \cdot 10^3$	0	0	6.847
I	0	$1.650 \cdot 10^2$	0	0	0.833
V	0	$5.604 \cdot 10^3$	0	0	28.54
E_0	$1.2 \cdot 10^3$	$1.005 \cdot 10^3$	$1.2 \cdot 10^4$	$1.2 \cdot 10^4$	$8.575 \cdot 10^3$
Q	0	$8.897 \cdot 10^6$	0	0	$1.396 \cdot 10^4$
E	0	$1.482 \cdot 10^6$	0	0	$1.163 \cdot 10^4$
λ ведущее	1.124	-0.009	-0.010	0.210	-0.010

5 Анализ устойчивости

Для исследования устойчивости заданного стационарного состояния \bar{U} системы (11) при фиксированных значениях параметров представим решение вблизи этого стационарного состояния в виде $U(t) = \bar{U} + \varepsilon U'(t) + o(\varepsilon^2)$, где ε — малый параметр. Подставив это представление в (11) и пренебрегая членами порядка ε^2 , для функции $U'(t)$ получим систему следующего вида:

$$\frac{d}{dt}U'(t) = L_0 U'(t) + \int_{t-\omega_C}^t e^{-\mu_C(t-s)} L_1 U'(s) ds + \sum_{j \in \{C, U, E_1, E_2\}} L_j U'(t - \omega_j), \quad (25)$$

где L_0, L_1, L_j означают постоянные, квадратные матрицы седьмого порядка.

Стационарное состояние \bar{U} асимптотически устойчиво, если любое решение системы (25) вида

$$U'(t) = \tilde{U} e^{\lambda t}, \quad (26)$$

где \tilde{U} — постоянный семи компонентный вектор, а λ — число, монотонно убывает при $t \rightarrow \infty$. Подставим (26) в (25), получив следующую нелинейную проблему собственных значений:

$$A(\lambda) \tilde{U} = 0, \quad (27)$$

где

$$A(\lambda) = \lambda I - L_0 - \sum_j L_j e^{-\lambda \omega_j} - \begin{cases} \frac{1 - e^{-(\lambda + \mu_C) \omega_C}}{\mu_C + \lambda} L_1, & |\lambda + \mu_C| \geq 1, \\ \sum_{k=0}^{\infty} \frac{(-1)^k (\lambda + \mu_C)^k \omega_C^{k+1}}{(k+1)!} L_1, & |\lambda + \mu_C| < 1, \end{cases}$$

где $j \in \{U, C, E_2, E_1\}$, а I — единичная матрица седьмого порядка.

Таким образом, исследование асимптотической устойчивости стационарного состояния \bar{U} сводится к решению нелинейной проблемы собственных значений (27) и проверке, что все найденные собственные значения λ

лежат строго в левой полуплоскости. Алгоритмы, которые позволяют решать полную нелинейную проблему собственных значений вида (27), не известны. Более того, вообще говоря, эта проблема имеет бесконечное число решений. Так что мы будем аппроксимировать эту проблему рациональной проблемой собственных значений. Решения рациональной проблемы будут приближениями к решениям исходной проблемы (27), которые можно затем уточнить при помощи какого-либо из локальных методов ньютоновского типа.

Для поиска λ так же как и в пункте 3.1 применим неявную схему второго порядка BDF2 [3] на равномерной сетке

$$\{t_k = \delta k : k = -m_{max} + 1, -m_{max} + 2, \dots\},$$

построенной с шагом $\delta > 0$ в полуинтервале $(-\omega_{max}, \infty)$. Величины $m_\alpha = [\omega_\alpha/\delta]$, $\alpha \in \{C, U, E_1, E_2\}$, где $[.]$ означает целую часть числа, являются дискретными аналогами задержек, $m_{max} = \max\{m_C, m_U, m_{E_1}, m_{E_2}\}$. Тогда система (25) примет следующий вид:

$$\begin{aligned} \frac{1.5U'_k - 2U'_{k-1} + 0.5U'_{k-2}}{\delta} = \\ = L_0U'_k + \sum_{s=k-m_C+1}^k \frac{\delta}{2} L_1(e^{-\mu_C\delta(k-(s-1))}U'_{s-1} + e^{-\mu_C\delta(k-s)}U'_s) + \\ + \sum_{j \in \{C, U, E_1, E_2\}} L_j U'_{k-m_j}, k = 1, 2, \dots \end{aligned} \quad (28)$$

где U'_k — сеточная функция, аппроксимирующая $U'(t_k)$.

Для исследования устойчивости будем искать U'_k в виде $U'_k = \tilde{U}\mu^k$. Соответственно, $\lambda = \ln \mu/\delta$. Тогда система (28) примет вид

$$\hat{A}(\mu)\tilde{U} = 0, \quad (29)$$

где

$$\hat{A}(\mu) = \frac{1.5 - 2\mu^{-1} + 0.5\mu^{-2}}{\delta}I - L_0 -$$

$$- \sum_{s=1}^{m_C} \frac{\delta}{2} L_1 (e^{-\mu_C \delta (s-1)} \mu^{-(s-1)} + e^{-\mu_C \delta s} \mu^{-s}) - \sum_{j \in \{C, U, E_1, E_2\}} L_j \mu^{-m_j}.$$

Для всех наших наборов параметров верно: $m_U \leq m_C \leq m_{E_2} \leq m_{E_1}$. Умножим уравнение (29) на $\mu^{m_{E_1}}$. Полученное уравнение можно привести к следующей полиномиальной проблеме:

$$\begin{aligned} \mu^{m_{E_1}} \tilde{U} &= \\ &= \mu^{m_{E_1}-1} C_1 \tilde{U} + \mu^{m_{E_1}-2} C_2 \tilde{U} + \sum_{s=1}^{m_C} \mu^{m_{E_1}-s} C'_s \tilde{U} + \sum_{j \in \{C, U, E_1, E_2\}} \mu^{m_{E_1}-m_j} C_{m_j} \tilde{U}, \end{aligned} \quad (30)$$

где

$$\begin{aligned} C_1 &= 2(1.5I - \delta L_0 - \frac{\delta^2}{2} L_1)^{-1}, \\ C_2 &= -0.5(1.5I - \delta L_0 - \frac{\delta^2}{2} L_1)^{-1}, \\ C'_s &= (1.5I - \delta L_0 - \frac{\delta^2}{2} L_1)^{-1} \delta^2 e^{-\mu_C \delta s} L_1, \quad s = 1 \dots m_C - 1, \\ C'_{m_C} &= (1.5I - \delta L_0 - \frac{\delta^2}{2} L_1)^{-1} \frac{\delta^2}{2} e^{-\mu_C \delta m_C} L_1, \\ C_{m_j} &= (1.5I - \delta L_0 - \frac{\delta^2}{2} L_1)^{-1} \delta L_j, \quad j \in \{C, U, E_1, E_2\}. \end{aligned}$$

Дополним уравнение (30) тождествами $\tilde{U} \mu^j = \tilde{U} \mu^j$, $j = 1, \dots, m_{E_1} - 1$, таким образом получив систему из m_{E_1} уравнений, которую можно записать в виде:

$$\mu \tilde{X} = M \tilde{X}, \quad (31)$$

где

$$\tilde{X} = \begin{pmatrix} \tilde{X}_1 \\ \vdots \\ \tilde{X}_{m_{E_1}} \end{pmatrix}, \quad M = \begin{pmatrix} M_{11} & \dots & M_{1m_{E_1}} \\ \vdots & \ddots & \vdots \\ M_{m_{E_1}1} & \dots & M_{m_{E_1}m_{E_1}} \end{pmatrix}.$$

Здесь $\tilde{X}_i = \tilde{U} \mu^{m_{E_1}-i}$ при $i = 1, \dots, m_{E_1}$, а матрица M является блочной, блочного порядка m_{E_1} с блоками порядка 7. Все блоки этой матрицы нулевые, кроме поддиагональных блоков $M_{i+1,i} = I$ ($i = 1, \dots, m_{E_1} - 1$) и

некоторых блоков в первой строке, определенных следующим образом: запишем все определенные выше матрицы C_i в соответствующие блоки M_{1i} , а затем сложим с соответствующими матрицами C'_i .

Таким образом, мы свели приближенное решение нелинейной проблемы собственных значений (27) к вычислению собственных значений матрицы M , что можно сделать применяя стандартный QR-алгоритм [4]. Тогда приближенные решения проблемы (27) выражаются через собственные значения матрицы M как $\lambda = \ln(\mu)/\delta$.

Выберем для надежности из них определенное число ведущих (с максимальными вещественными частями) и уточним каждое из них методом последовательных линейных проблем [5, 6], который заключается в следующем итерационном процессе:

$$\lambda_{j+1} = \lambda_j - \nu_j.$$

Здесь j — номер итерации, а ν_j — минимальное по абсолютной величине решение линейной проблемы собственных значений $A(\lambda_j)x = \nu B(\lambda_j)x$, где $B(\lambda) = dA/d\lambda$ и равна

$$B(\lambda) = I + \sum_j \omega_j L_j e^{-\lambda \omega_j} + \begin{cases} \left(\frac{\omega_C e^{-(\lambda + \mu_C) \omega_C}}{\lambda + \mu_C} + \frac{1 - e^{-(\lambda + \mu_C) \omega_C}}{(\lambda + \mu_C)^2} \right) L_1, & |\lambda + \mu_C| \geq 1, \\ \sum_{k=0}^{\infty} (-1)^k (\lambda + \mu_C)^{k-1} \omega_C^{k+1} \left(\frac{1}{k!} + \frac{1}{(k+1)!} \right) L_1, & |\lambda + \mu_C| < 1, \end{cases} \quad (32)$$

где $j \in \{U, C, E_2, E_1\}$.

На каждом Рис. 5—9 изображены 15 приближенных и 7 уточненных собственных значений с наибольшими вещественными частями в стационарных состояниях, значения переменных в которых приведены в Табл. 2. Синими маркерами «о» обозначены приближенные собственные значения проблемы (27), полученные с помощью рациональной аппроксимации. Синими маркерами «+» обозначены собственные значения, уточненные методом последовательных линейных проблем. Видно, что первое и четвертое состояния неустойчивы, остальные 3 стационарных состояния устойчивые.

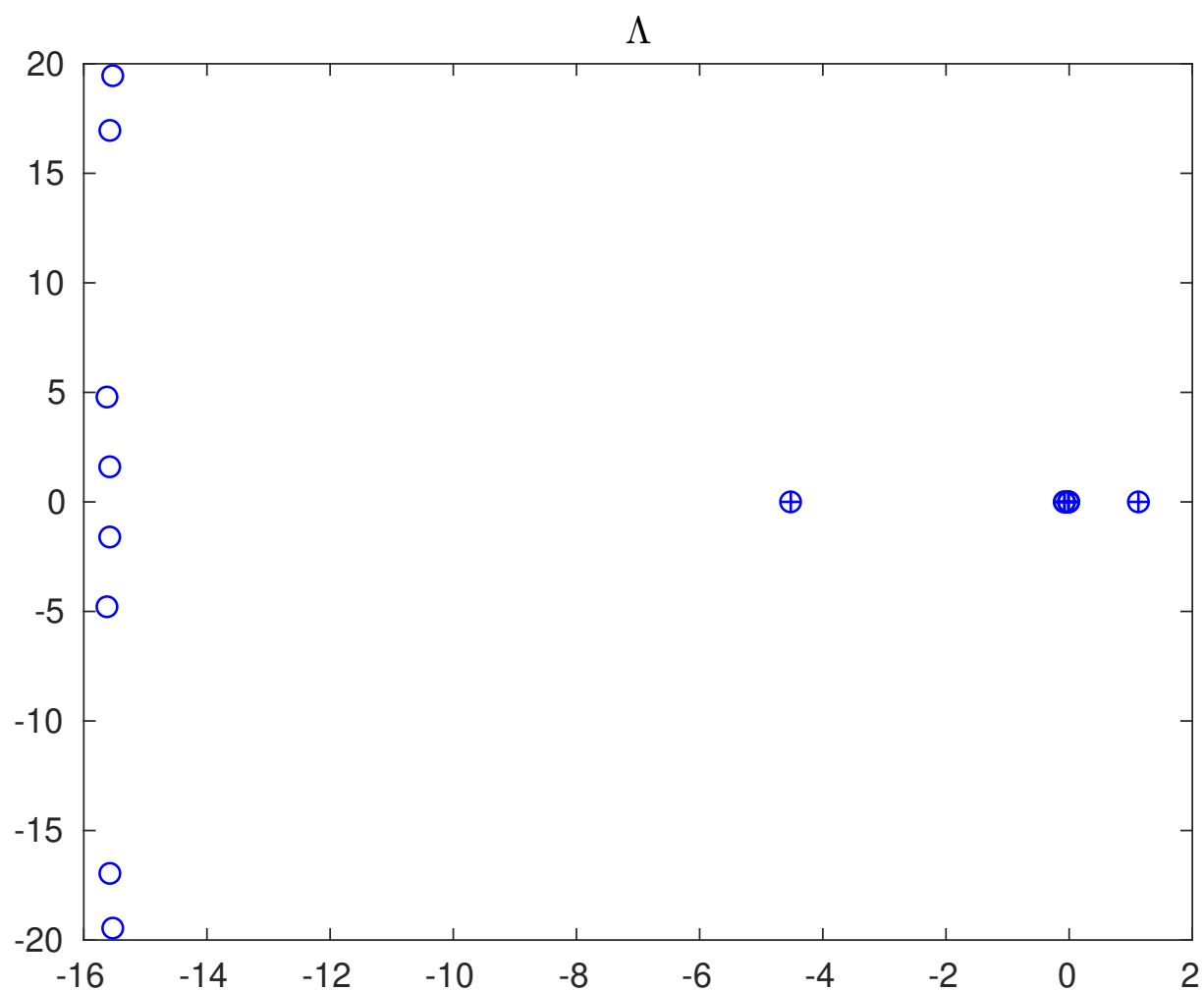


Рис. 5: Собственные значения для 1-го набора параметров, 1-го стационарного состояния.

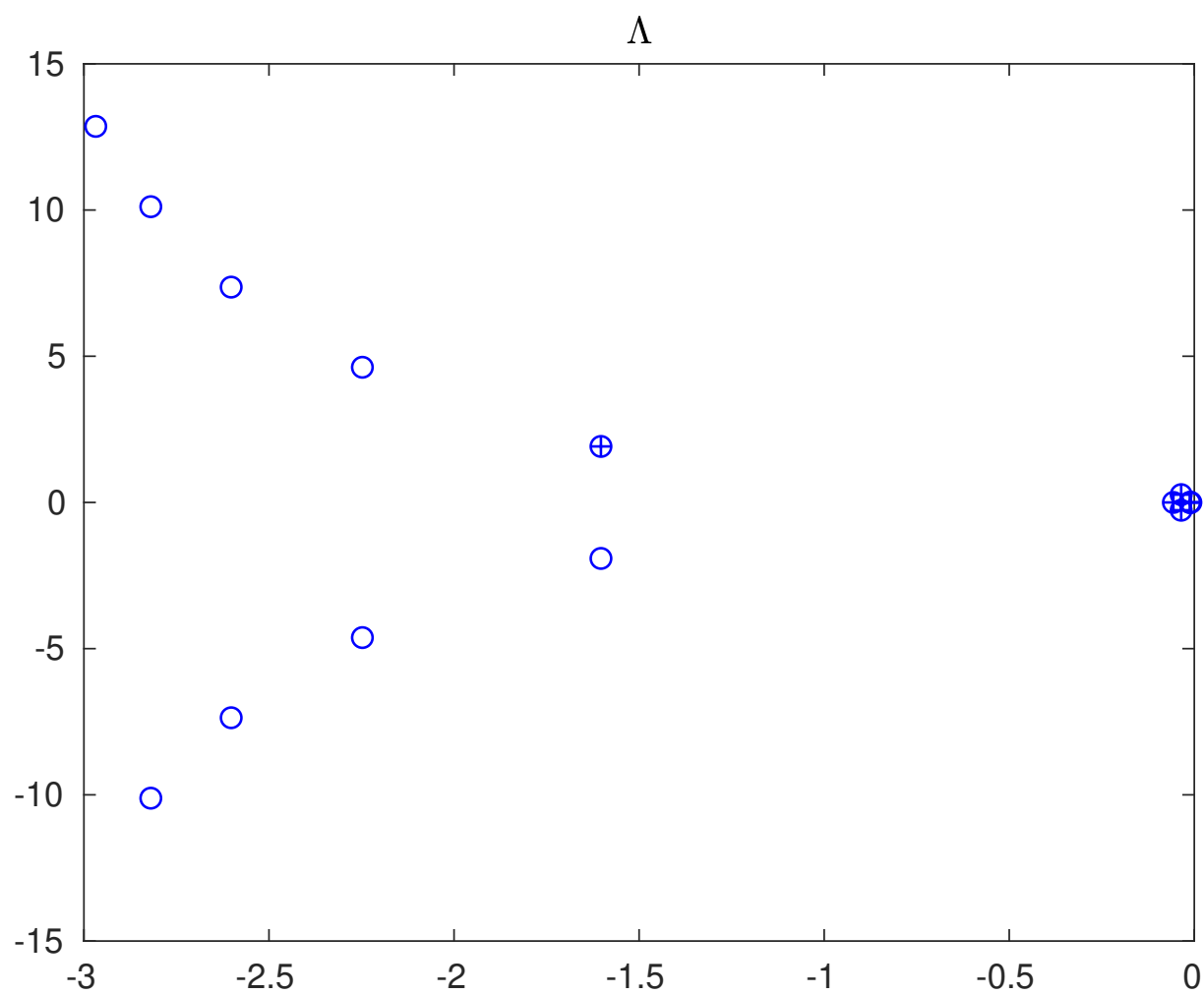


Рис. 6: Собственные значения для 1-го набора параметров, 2-го стационарного состояния.

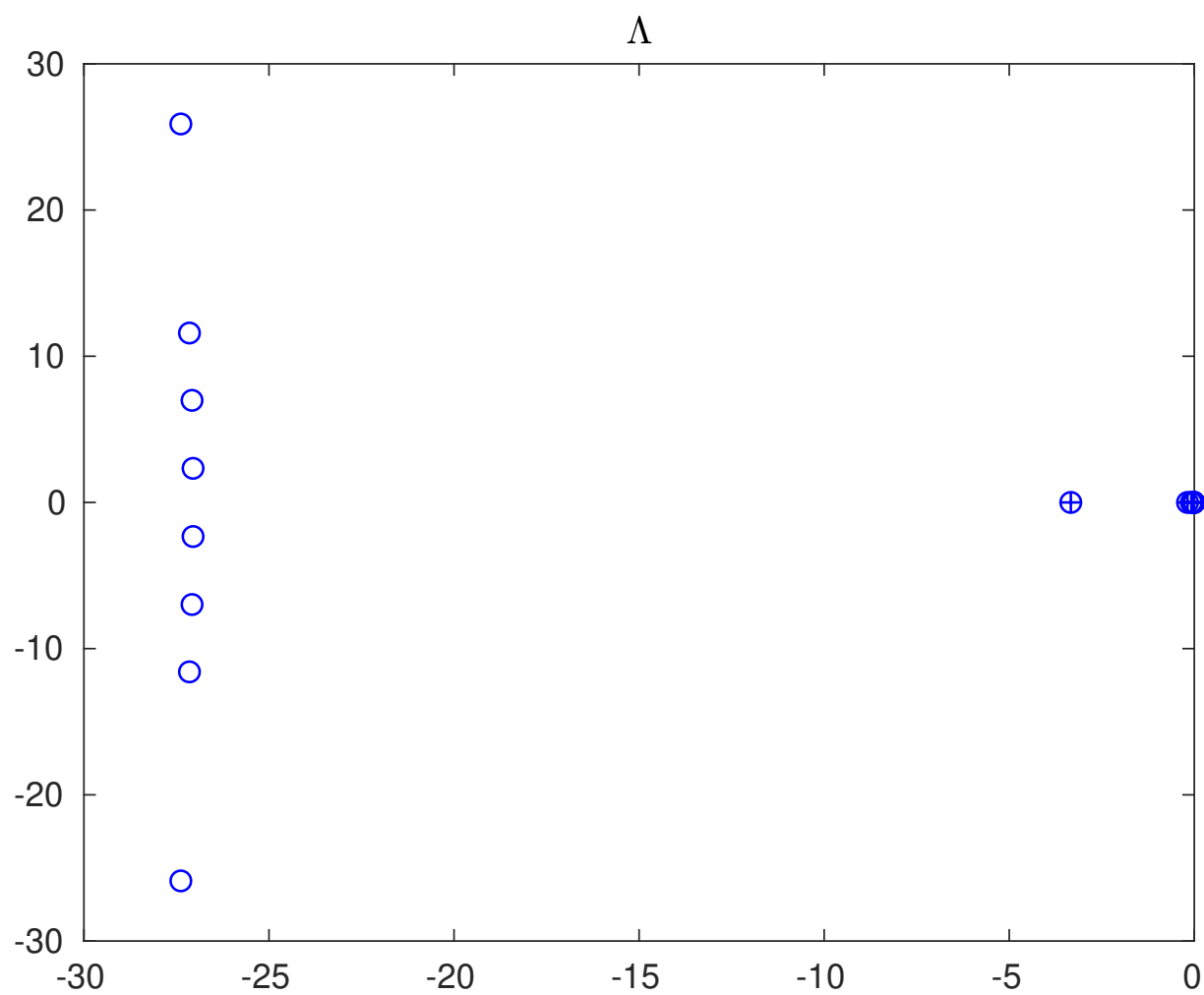


Рис. 7: Собственные значения для 2-го набора параметров, 1-го стационарного состояния.

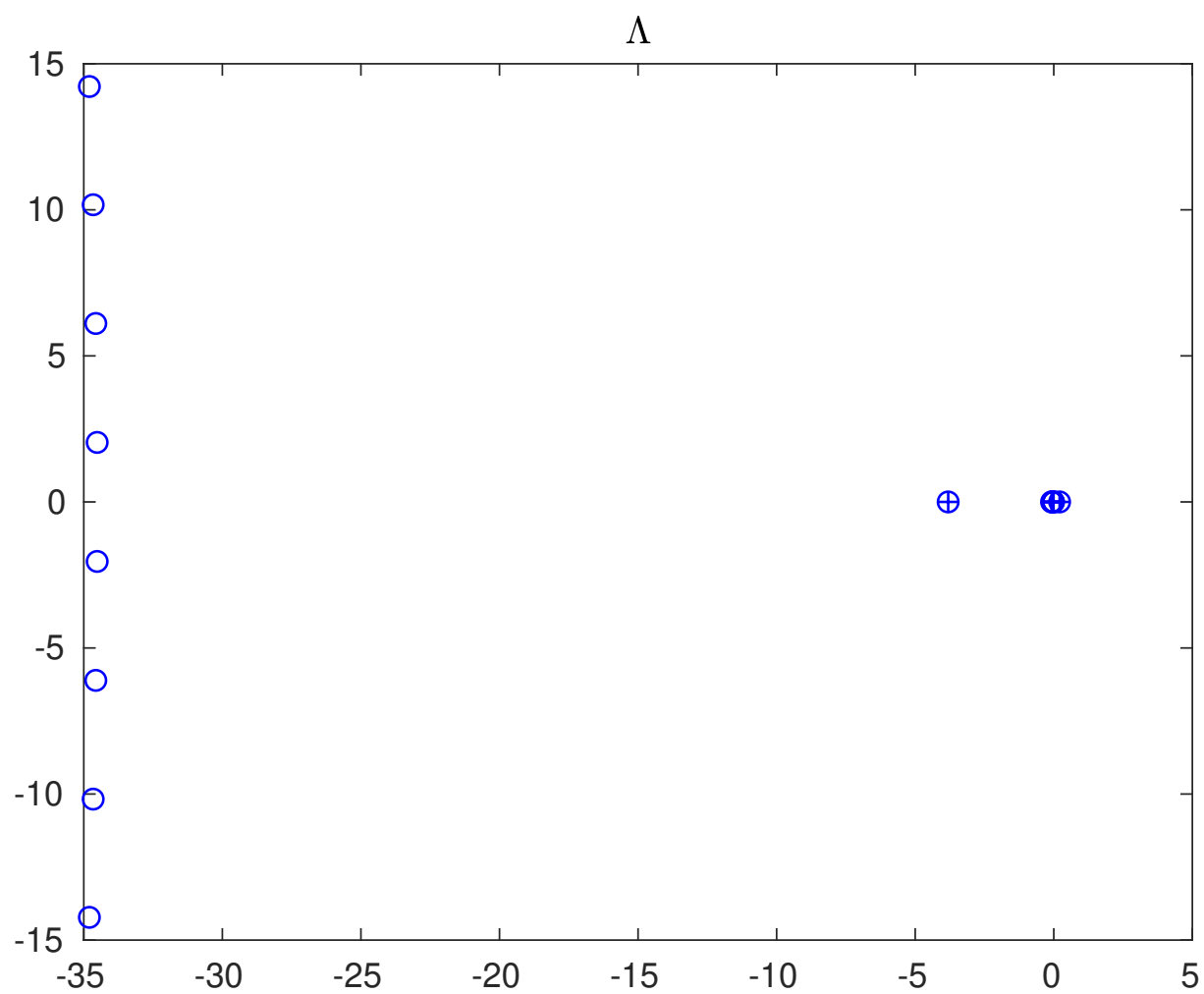


Рис. 8: Собственные значения для 3-го набора параметров, 1-го стационарного состояния.

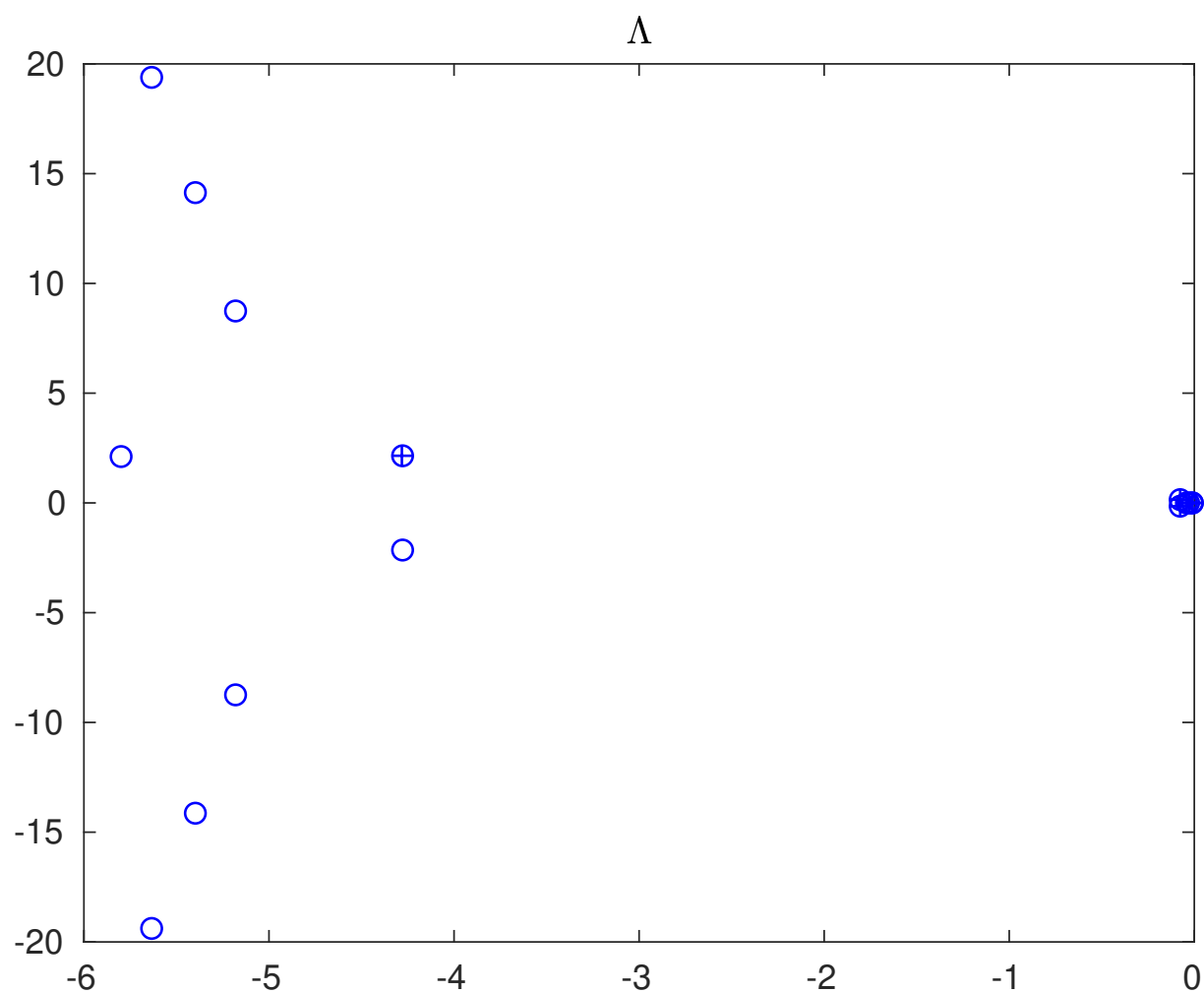


Рис. 9: Собственные значения для 3-го набора параметров, 2-го стационарного состояния.

Set of parameters #1						
steady state 1						
E_0	E_i	s_1	s_2	s_3	s_4	
1.124262+0.000000i	1.124225+0.000000i	-15	-2	-2	-2	
-0.010000+0.000000i	-0.010000+0.000000i	-15	-15	-15	-3	
-0.010000+0.000000i	-0.010000+0.000000i	-15	-15	-15	-3	
-0.010000+0.000000i	-0.010000+0.000000i	-15	-15	-15	-3	
-0.073509+0.000000i	-0.073509+0.000000i	-15	-4	-3	-3	
-0.080000+0.000000i	-0.080000+0.000000i	-15	-4	-3	-3	
-4.523751+0.000000i	-4.519880+0.000000i	-15	-2	-2	-2	
Set of parameters #1						
steady state 2						
E_0	E_i	s_1	s_2	s_3	s_4	
-0.009248+0.000000i	-0.009248+0.000000i	-15	-5	-5	-3	
-0.011295+0.000000i	-0.011295+0.000000i	-15	-5	-5	-3	
-0.011943+0.000000i	-0.011943+0.000000i	-15	-7	-5	-3	
-0.035450+0.266562i	-0.035450+0.266562i	-11	-3	-3	-3	
-0.035450-0.266562i	-0.035450-0.266562i	-11	-3	-3	-3	
-0.056492+0.000000i	-0.056492+0.000000i	-15	-3	-3	-3	
-1.603028+1.915265i	-1.603120+1.915397i	-15	-3	-3	-3	
Set of parameters #2						
steady state 1						
E_0	E_i	s_1	s_2	s_3	s_4	
-0.010000+0.000000i	-0.010000+0.000000i	-18	-13	-13	-3	
-0.010000+0.000000i	-0.010000+0.000000i	-17	-12	-12	-3	
-0.010000+0.000000i	-0.010000+0.000000i	-17	-12	-12	-3	
-0.015197+0.000000i	-0.015197+0.000000i	-17	-4	-4	-3	
-0.080000+0.000000i	-0.080000+0.000000i	-14	-3	-3	-3	
-0.182366+0.000000i	-0.182366+0.000000i	-15	-3	-3	-3	
-3.337020+0.000000i	-3.335666+0.000000i	-15	-3	-3	-3	
Set of parameters #3						
steady state 1						
E_0	E_i	s_1	s_2	s_3	s_4	
0.210232+0.000000i	0.210232+0.000000i	-15	-3	-3	-3	
-0.010000+0.000000i	-0.010000+0.000000i	-15	-13	-5	-4	
-0.010000+0.000000i	-0.010000+0.000000i	-15	-13	-5	-4	
-0.046666+0.000000i	-0.046666+0.000000i	-15	-4	-4	-3	
-0.050000+0.000000i	-0.050000+0.000000i	-15	-4	-4	-3	
-0.080000+0.000000i	-0.080000+0.000000i	-13	-4	-3	-3	
-3.810941+0.000000i	-3.808886+0.000000i	-15	-3	-3	-3	
Set of parameters #3						
steady state 2						
E_0	E_i	s_1	s_2	s_3	s_4	
-0.010009+0.000000i	-0.010009+0.000000i	-15	-6	-5	-4	
-0.011341+0.000000i	-0.011341+0.000000i	-15	-5	-5	-4	
-0.030697+0.000000i	-0.030697+0.000000i	-15	-4	-4	-4	
-0.042754+0.000000i	-0.042754+0.000000i	-14	-4	-4	-4	
-0.076291+0.149314i	-0.076291+0.149314i	-12	-3	-3	-3	
-0.076291-0.149314i	-0.076291-0.149314i	-12	-3	-3	-3	
-4.278072+2.146507i	-4.281956+2.148227i	-15	-4	-4	-4	

Таблица 4: E_0 и E_i — приближенные и уточненные собственные значения для всех найденных стационарных состояний, $s_i = \sigma_i / \sigma_{max}$, где $\sigma_1, \dots, \sigma_4$ — 4 минимальных сингулярных числа в порядке возрастания.

6 Заключение

В данной работе была рассмотрена модель ВИЧ-инфекции Бочарова-Перцева [1]. Для этой модели ранее не исследовались стационарные состояния с ненулевой вирусной нагрузкой. Показано, что исходная система 7 нелинейных уравнений, неотрицательными решениями которой являются стационарные состояния, решается с помощью функции SOLVE в MATLAB. Предложена эффективная технология анализа их устойчивости. Работа этой технологии была проиллюстрирована для трех наборов параметров, соответствующих разным вирусным нагрузкам. Разработанная нами технология дает вычислительную основу для исследования с помощью модели Бочарова-Перцева хронических форм ВИЧ-инфекций. Более того, она позволит решать аналогичные задачи и для других моделей вирусных инфекций, сложность которых существенно увеличивается при переходе к более детальному описанию регуляторных контуров, определяющих динамику иммунных процессов, развития инфекции и разрушения клеток-мишеней.

Список литературы

- [1] *Pertsev N. V., Loginov K. K., Bocharov G. A.* Nonlinear effects in the dynamics of HIV-1 infection predicted by mathematical model with multiple delays // X. X. Vol. X. No. X, P. X—X.
- [2] *Pertsev N. V.* Global Solvability and Estimates of Solutions to the Cauchy Problem for the Retarded Functional Differential Equations That Are Used to Model Living Systems // Sib. Math. J., 59 (2018), 113–125.
- [3] *Hairer E., Wanner G.* Solving ordinary differential equations. Springer-Verlag. Berlin, 1996.
- [4] *Golub G. H., Van Loan C. F.* Matrix Computations. The Johns Hopkins University Press. 1989.
- [5] *Effenberger C.* Robust successive computation of eigenpairs for nonlinear eigenvalue problems. // SIAM J. Matrix Anal. Applic. 2013. No. 34, P. 1231—1256.

- [6] *Demyanko K. V., Nechepurenko Y. M., Sadkane M.* A Newton-type method for non-linear eigenproblems //Russian J. Numer. Anal. Math. Modelling. 2017. Vol. 32, No. 4, P. 237-244.